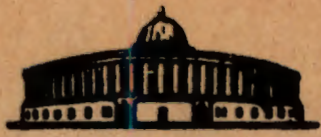


БАЛЯ, Е. и др.

Б 1-1-8136.

С 346.5а

Б-219



ОБЪЕДИНЕННЫЙ ИНСТИТУТ ЯДЕРНЫХ ИССЛЕДОВАНИЙ

3704/74

Б 1-1-8136

ДЕПОНИРОВАННАЯ ПУБЛИКАЦИЯ

Дубна 19 74

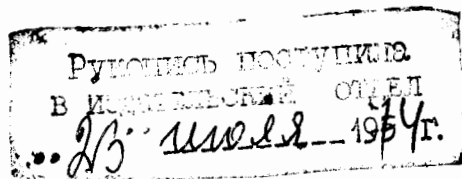
ОБЪЕДИНЕННЫЙ ИНСТИТУТ ЯДЕРНЫХ ИССЛЕДОВАНИЙ  
Лаборатория вычислительной техники и автоматизации

Е.Баля<sup>\*</sup>, О.Баля<sup>\*</sup>, Ш.Берчану, В.М.Карнаухов,  
В.Каутин, К.Кока<sup>\*</sup>, А.Михул, В.И.Мороз.

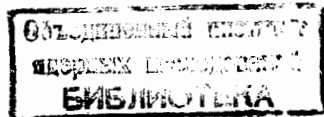
51-1-8136

ЧЕТЫРЕХЛУЧЕВЫЕ СОБЫТИЯ С РОЖДЕНИЕМ  
СТРАННЫХ ЧАСТИЦ В  $\pi^+$ -ВЗАИМОДЕЙСТВИЯХ ПРИ 16 Гэв/с.

ЭФФЕКТИВНОСТЬ ПРОСМОТРА И КРИТЕРИИ ОТБОРА  
СОБЫТИЙ ДЛЯ КИНЕМАТИЧЕСКОЙ ИДЕНТИФИКАЦИИ.



<sup>\*</sup> Институт атомной физики, СРР, г.Бухарест.



В работе приведены данные по определению эффективности просмотра снимков с  $2^{\frac{X}{-}}$  - метровой водородной пузырьковой камеры ЦЕРНа, экспонированной в пучке  $\pi^-$ -мезонов с импульсом 16 Гэв/с. Описываются используемые критерии отбора измеренных и обсчитанных по программе геометрической реконструкции событий для их обработки по программам идентификации.

Проводился двойной просмотр пленок с задачей поиска  $4^{\frac{X}{-}}$  - лучевых событий с одной или двумя нейтральными странными частицами. Подробное описание условий просмотра и критериев отбора событий при просмотре дано в работе /1/. Измерение отобранных событий выполнялось на полуавтоматах ПУОС /2/, работающих на линии с ЭВМ БЭСМ-4 /3/. Восстановление пространственной картины события в камере проводилось по программе геометрической реконструкции "I - 6" /4,5/.

Для определения эффективности двойного просмотра был проведен детальный анализ результатов просмотра 24 пленок (18000 снимков). Результаты - в таблице I. При первом просмотре найдено  $N_1$  событий, при втором -  $N_2$ . Количество событий, обнаруженных и в первом и во втором просмотре, равно  $N_{12}$ . Истинное количество событий на снимках равно  $N$ . По определению, за эффективность просмотра считаем величину  $\varepsilon_{i=1,2} = \frac{N_{i=1,2}}{N}$ . Легко показать, что  $\varepsilon_{i=1,2} = \frac{N_{12}}{N_{i=2,1}}$ . Эффективность двойного просмотра  $\varepsilon = \varepsilon_1 + \varepsilon_2 - \varepsilon_1 \varepsilon_2$ . В /6/ показано, что при  $\varepsilon_1 \neq \varepsilon_2$  относительная средне-квадратичная ошибка эффективности наблюдения равна:

$$\frac{\sigma_{\varepsilon_{i=1,2}}}{\varepsilon_{i=1,2}} = \frac{1}{\sqrt{N}} \cdot \sqrt{\frac{1-\varepsilon_{i=1,2}}{\varepsilon_1 \varepsilon_2}}$$

При достаточно больших эффективностях просмотра для определения средне-квадратичной ошибки эффективности двойного просмотра можно

воспользоваться формулой:

$$\tilde{\sigma}_{\varepsilon} = \sqrt{[(1-\varepsilon_2)\sigma_{\varepsilon_1}]^2 + [(1-\varepsilon_1)\sigma_{\varepsilon_2}]^2}$$

из работы<sup>/7/</sup>. Ошибка, вычисленная по этой формуле ( $\tilde{\sigma}_{\varepsilon} = 0,133$ ), мало отличается от ошибки  $\bar{\sigma}_{\varepsilon}$ , равной<sup>/8/</sup>:

$$\begin{aligned}\bar{\sigma}_{\varepsilon} = N_{12} & \left\{ \left( \frac{1-\varepsilon_1}{N_1} \right)^3 + \left( \frac{1-\varepsilon_2}{N_2} \right)^3 + \left( \frac{1-\varepsilon_1}{N_1} + \frac{1-\varepsilon_2}{N_2} \right)^2 \left( \frac{1-\varepsilon_1 \varepsilon_2}{N_{12}} \right) - \right. \\ & \left. - 2 \left( \frac{1-\varepsilon_1}{N_1} + \frac{1-\varepsilon_2}{N_2} \right) \left[ \left( \frac{1-\varepsilon_1}{N_1} \right)^2 + \left( \frac{1-\varepsilon_2}{N_2} \right)^2 \right] \right\}^{1/2} = 0,138\end{aligned}$$

Таблица I.

$N_1$	$N_2$	$N_{12}$	$\varepsilon, (\%)$	$\varepsilon_2 (\%)$	$\varepsilon (\%)$
757	807	708	$87,7 \pm 1,1$	$93,5 \pm 0,9$	$99,2 \pm 0,1$

Таким образом, эффективность просмотра по всему материалу была принята равной  $(99,2 \pm 0,1)\%$ .

После измерений отобранных при просмотре событий и восстановления пространственных координат треков события проверяются по тестам<sup>/9/</sup>. Если материал, записанный на магнитную ленту, не удовлетворяет заданным тестам, то он бракуется с выдачей на печать специального признака; "плохое" событие на магнитной ленте отмечается.

В работе использовались четыре теста.

1. Проверялось соответствие числа измеренных треков числу сосчитанных.
2. Проверялось, лежит ли последняя точка трека в объеме камеры:

$0 \leq x \leq 200$  см,  $0 \leq y \leq 60$  см,  $0 \leq z \leq 50$  см (рис. I).

3. Проверялось, находятся ли на входе в камеру азимутальный угол  $\beta$  и угол погружения  $\alpha$  первичного трека в пределах:  
 $0 \leq \beta \leq 0,023$  рад,  $-0,01 \leq \operatorname{tg} \alpha \leq 0,01$ .

Пределы были определены по результатам измерения и обсчета по программе "I-6" 300 первичных треков для каждой из 3 экспозиций /I/. Были построены распределения для  $\beta$  и  $\operatorname{tg} \alpha$  (рис. 2). Угол  $\beta$  первичного трека досчитывался в нестандартном блоке программы /9/, т.к. программа "I-6" выдает азимутальный угол в точке взаимодействия.

4. Для выбора верхней границы величины  $\chi^2$  и  $W^{2/4}$  треков использованы распределения этих величин для 300 треков (первичных и вторичных), измеренных и обсчитанных по программе "I-6" событий (рис. 3). Отбраковывались и направлялись на повторные измерения события, в которых были треки с  $\chi^2 > 9$  или  $W^2 > 10$ .

Удовлетворяющие заданным тестам события допускаются к обработке по программам идентификации  $V^{\pm}$  - частиц "2-4"/IO/ и "3-I"/II/.

После такой обработки события готовы к обсчету по программе кинематической идентификации "IO-30"/I2/, в которой заданы возможные гипотезы реакций.

## Л И Т Е Р А Т У Р А

1. Е.Баля и др., ОИЯИ, Б2-І-7І33, 1973 г.
2. В.Я.Алмазов и др., Препринт ОИЯИ, І352, 1964 г.
3. З.М.Иванченко и др., Препринт ОИЯИ, І0-4879, 1969 г.
4. Н.Ф.Маркова и др., Препринт ОИЯИ, РІ0-3768, 1968 г.
5. Е.Баля и др., ОИЯИ, Б2-І-7І34, 1973 г.
6. К.Д.Толстов, Препринт ОИЯИ, F-864, 1962 г.
7. Y.K.Lim et al., Nuovo Cimento, 15, Suppl., №3,382, 1960.
8. М.И.Подгорецкий, Э.Н.Цыганов, Препринт ОИЯИ, Р-839, 1961г.
9. А.Д.Макаренкова и др., ОИЯИ, БІ-ІІ-4500, 1969 г.
10. А.Ф.Лукьянцев и др., Препринт ОИЯИ, Р-І982, 1965 г.
11. В.М.Карнаухов и др., Препринт ОИЯИ, І0-6І23, 1971 г.
12. З.М.Иванченко и др., Препринт ОИЯИ, РІІ-3983, 1968 г.

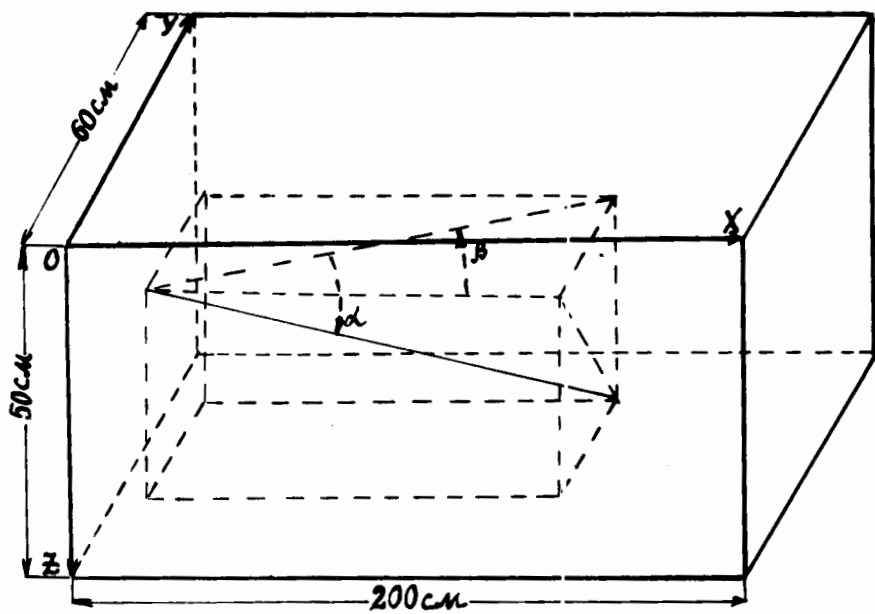


Рис. I. Двухметровая водородная пузырьковая камера ЦЕРНа.

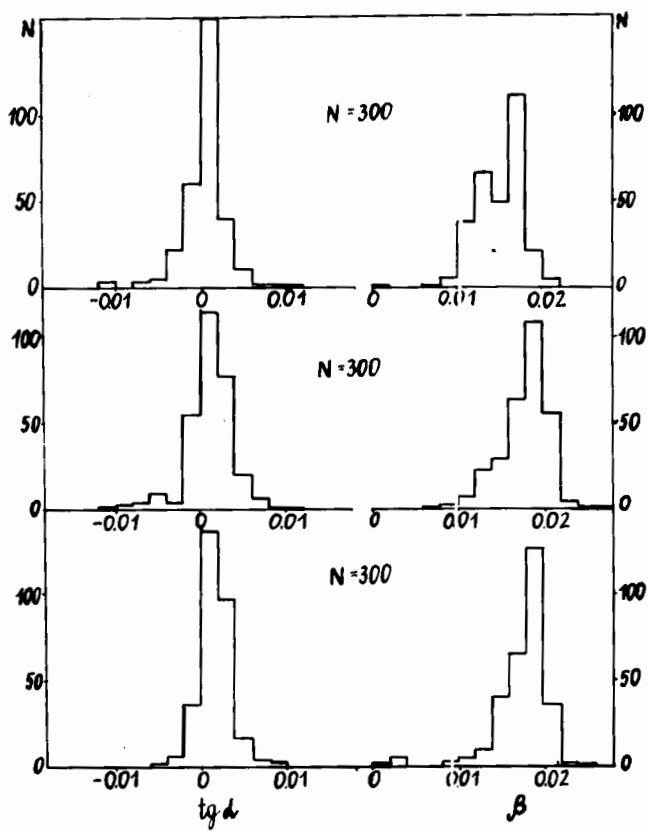


Рис. 2. Распределения  $\tg \alpha$  (угла погружения) и  $\beta$  (азимутального угла) первичных треков в точке входа в камеру для трех экспозиций камеры.

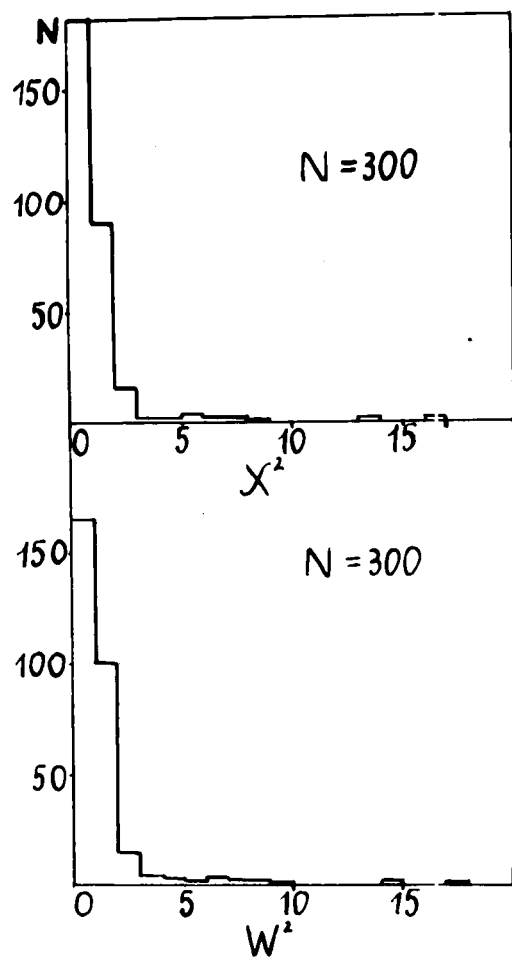


Рис. 3. Распределения  $\chi^2$  и  $W^2$  величин для первичных и вторичных треков в событиях.